

УДК 62 - 83 : 621. 313. 333

## ДОСЛІДЖЕННЯ МЕХАНІЧНИХ ХАРАКТЕРИСТИК КОМПЕНСОВАНОГО АСИНХРОННОГО ДВИГУНА

**Ю.М. Васьковський**, докт. техн. наук

*Національний технічний університет «Київський політехнічний інститут»;*

**Р.М. Чусико**, канд. техн. наук

*Національний університет біоресурсів і природокористування України*

*Проведено дослідження механічних характеристик компенсованого асинхронного двигуна за допомогою теорії електромагнітного поля та їх порівняння із механічними характеристиками серійного асинхронного двигуна.*

**Ключові слова:** компенсований асинхронний двигун, механічна характеристика, електромагнітне поле, електромагнітний момент.

**Проблема.** Важливе практичне значення має розрахунок та аналіз механічних характеристик компенсованих асинхронних двигунів (КАД), експлуатаційні показники яких повністю визначаються їх природною механічною характеристикою. Точність розрахунку механічної характеристики КАД багато в чому залежить від точності розрахунку струмів короткозамкненої обмотки ротора. На розподіл і величину струмів ротора суттєво впливає ефект витіснення вихрових струмів у масивних статора ротора, який у різній мірі проявляється при різних ковзаннях ротора (різних частотах струму ротора). В класичній теорії електричних машин дана задача розв'язується за допомогою колової схеми заміщення машини. Причому урахування ефекту витіснення виконується шляхом корегування параметрів обмотки ротора в залежності від величини ковзання за допомогою поправочних коефіцієнтів, які отримано при аналітичному розв'язані окремої задачі про проникнення магнітного поля в один ізольований паз ротора з масивним електропровідним провідником. Використання методів теорії поля забезпечує більш високу точність розрахунку механічних характеристик КАД.

**Метою роботи** є дослідження механічних характеристик компенсованого асинхронного двигуна та їх порівняльний аналіз із механічними характеристиками серійного асинхронного двигуна (АД).

**Вихідні дані та методика дослідження.** В основі польового методу визначення механічної характеристики КАД лежить спосіб визначення електромагнітного обертаючого моменту асинхронного двигуна за результатами розрахунку розподілу його електромагнітного поля.

Двовимірне електромагнітне поле в поперечному перерізі АД описується наступним диференційним рівнянням в часткових похідних:

$$\frac{\partial^2 \dot{A}_z}{\partial x^2} + \frac{\partial^2 \dot{A}_z}{\partial y^2} - j\omega_1 s \mu \gamma \dot{A}_z = -\mu \dot{J}_{zcmop} \quad (1)$$

де  $\dot{A}_z$  — векторний магнітний потенціал,  $\omega_1$  — кутова частота обертання поля статора,  $S$  — ковзання ротора,  $\mu$  — магнітна проникність,  $\gamma$  — електропровідність.

Складові вектора магнітної індукції за відомими значеннями векторного магнітного потенціалу:

$$B_x = \partial A_z / \partial y, B_y = -\partial A_z / \partial x. \quad (2)$$

Використовуючи результати розрахунку електромагнітного поля розраховуються нормальні  $T_n$  (направлена уздовж вектора нормалі до поверхні ротора) та тангенціальні  $T_t$  (направлена уздовж дотичної до поверхні ротора) складові тензора магнітного натягнення за наступними формулами:

$$T_n = \frac{1}{2\mu} \cdot (B_n^2 - B_t^2). \quad (3)$$

$$T_t = \frac{B_n \cdot B_t}{\mu}, \quad (4)$$

де  $B_n$ ,  $B_t$  — відповідно нормальні та тангенціальні складові вектора магнітної індукції, які знаходяться по наступним співвідношенням:

$$B_n = B_x \frac{x}{R_\delta} + B_y \frac{y}{R_\delta}, \quad (5)$$

$$B_t = B_x \frac{y}{R_\delta} - B_y \frac{x}{R_\delta}. \quad (6)$$

У формулах (5), (6) позначено:  $x, y$ ,  $R_\delta$  — декартові координати і радіус-вектор точки, в якій розраховуються складові вектора магнітної індукції. Тензор магнітного натягнення має фізичну розмірність тиску ( $\text{H/m}^2$ ).

Сумарна тангенціальна складова електромагнітної сили, яка створює електромагнітний момент КАД, визначається при інтегруванні тангенціальної складової тензора магнітного натягнення уздовж поверхні ротора:

$$F_t = \int_s T_t ds = \frac{1}{\mu} \cdot \int_s B_n \cdot B_t \cdot dS . \quad (7)$$

Електромагнітний обертальний момент КАД визначається як добуток тангенціальної складової електромагнітної сили, яка прикладена до поверхні ротора, на плече сили — відстань від поверхні до центра обертання. Якщо поверхнею є циліндр, то плечем сили є радіус цього циліндра. У разі двовимірного електромагнітного поля машини вираз для електромагнітного моменту можна отримати з наступних міркувань. Зважаючи на симетрію картини поля, розрахунки достатньо провести в межах одної полюсної поділки.

З урахуванням виразу (7) повний електромагнітний момент між статором і ротором електричної машини визначається наступною формулою:

$$M_{EM} = 2 \cdot p \cdot F_t \cdot R_\delta = \frac{2 \cdot p \cdot R_\delta \cdot l_\Pi}{\mu_0} \cdot \int_0^l B_n \cdot B_t \cdot dl , \quad (8)$$

де  $p, \tau$  — число пар полюсів і полюсна поділка. При цьому враховано, що площа інтегрування дорівнює  $S = l_\tau \cdot \tau$ , а  $\mu = \mu_0$ , тобто розглядається границя, що межує з поверхнею повітряного проміжку. При використанні методу скінченних елементів у результаті заміни лінійного інтеграла кінцевою сумою по відрізках, обмежених  $Q$  вузлами скінченних елементів, які лежать на розрахунковій лінії, з (4) остаточно отримаємо наступну розрахункову формулу:

$$M_{EM} = \frac{2 \cdot p \cdot R_\delta \cdot l_\Pi}{\mu_0} \cdot \sum_i^{Q-1} B_{ni} \cdot B_{ti} \cdot \Delta l_i , \quad (9)$$

де  $B_{ni}, B_{ti}$  — нормальна і тангенціальна складові магнітної індукції на  $i$  — ому відрізку  $\Delta l_i$  — довжина відрізку.

Формула (5) дуже зручна і дає можливість ефективно розрахувати електромагнітний момент між статором і ротором для поточного знайденого розподілу поля.

**Результати дослідження.** З метою оцінки ефективності КАД проведено порівняльний аналіз механічних характеристик серійного АД типу АІР71В2 та розробленого на його основі КАД. Характеристики обох двигунів розраховані польовим методом.

Двигун має наступні дані: кількість пар полюсів — 1; кількість пазів статора і ротора —  $Z_1 = 24$ ,  $Z_2 = 20$ ; внутрішній діаметр осердя статора —  $D_1 = 65$  мм; зовнішній діаметр осердя статора —  $D_a = 65$  мм; висота повітряного проміжку —  $\delta = 0,35$  мм; відкриття пазів статора  $b_{m1} = 2$  мм; пази ротора закриті; кількість пазів на полюс і фазу складає  $q = 4$ .

Відмінність КАД від АД АІР71В2 полягає у наступному. Кожна фазна зона АІР71В2, яка містить  $q = 4$ , розділена на дві підзони з кількістю котушок  $q = 2$ . При цьому чотири послідовно з'єднані котушки в кожній фазній зоні статора АІР71В2 розділені на дві паралельні гілки, кожна з яких містить дві послідовно з'єднані котушки, причому в одну паралельну гілку включена електрична ємність, яка створює фазовий зсув струму в зазначеній паралельній гілці. Величина ємності вибирається таким чином, щоб виконувалася фундаментальна умова оптимальної компенсації  $\alpha + \theta = 0$ , де  $\alpha$  — просторовий кут зсуву між фазовими підзонами (в ел. град.);  $\theta$  — фазовий кут між струмами в зазначених паралельних гілках. При цьому, як доведено попередніми дослідженнями, КАД має кращий (більш наближений до синусоїdalного) розподіл магнітної індукції уздовж полюсної поділки в повітряному проміжку.

Для розрахунку механічних характеристик використовувалася задана залежність струму в обмотці статора від ковзання, яку зображено на рис. 1. Дано залежність отримана попередніми розрахунками з використанням відомих значень параметрів і схеми заміщення короткозамкненого АД.

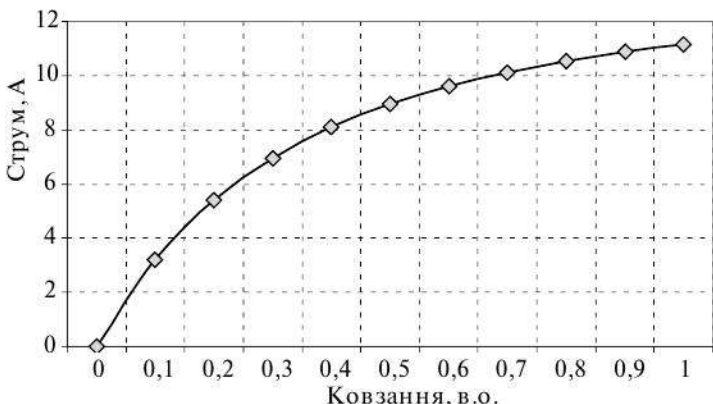


Рис. 1. Розрахункова залежність струму в обмотці статора від ковзання

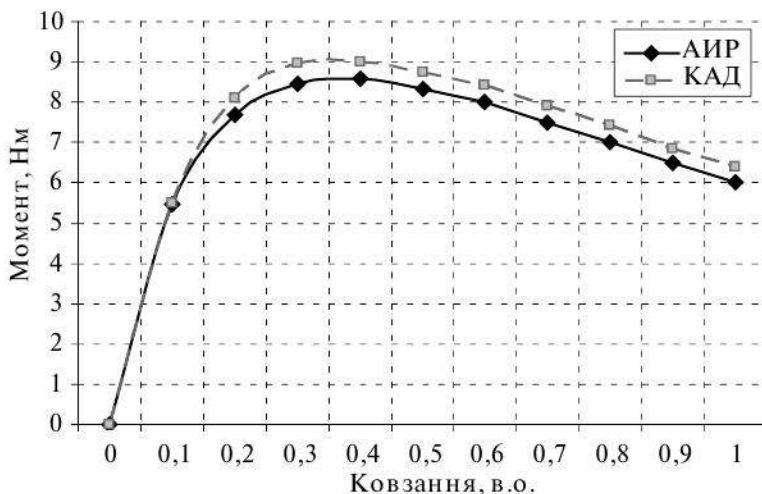


Рис. 2. Механічні характеристики серійного АД та КАД

Результати порівняльного аналізу механічних характеристик серійного АИР71В2 і КАД зображені на рис. 2.

Як видно з рис. 2, з точки зору експлуатаційних вимог механічна характеристика КАД має кращі показники, ніж у серійного АИР71В2. На більшій частині характеристики крива КАД проходить вище за криву механічної характеристики АИР71В2. Зокрема, механічна характеристика КАД має вищий на 7% максимальний електромагнітний момент і вищий на 8% пусковий момент.

#### Висновки.

1. КАД має більш синусоїдний розподіл магнітного поля в повітряному проміжку (більшу амплітуду першої гармоніки магнітної індукції) завдяки наявності дванадцятизонної структури обмотки статора КАД.
2. Покращення форми магнітного поля спричиняє більш ефективне електро-механічне перетворення енергії в КАД, у тому числі і при пуску. Це сприяє, перш за все, покращенню динамічних показників КАД: збільшенню миттєвих значень електромагнітного моменту КАД та протягом пуску двигуна призводить до зменшення часу пуску КАД.

## **Бібліографія**

1. Васьковський Ю.М. Польовий аналіз електричних машин. Навчальний посібник / Васьковський Ю.М. — К.: НТУУ «КПІ», 2007. — 192 с.
2. Васьковський Ю.М. Математичне моделювання електромагнітного поля компенсованого асинхронного двигуна / Васьковський Ю.М., Чуєнко Р.М. // Електротехніка і електромеханіка. — 2012. — № 2. — 26-30.

## **ИССЛЕДОВАНИЕ МЕХАНИЧЕСКИХ ХАРАКТЕРИСТИК КОМПЕНСИРОВАННОГО АСИНХРОННОГО ДВИГАТЕЛЯ**

*Проведено исследование механических характеристик компенсированного асинхронного двигателя с использованием теории электромагнитного поля и их сравнение с механическими характеристиками серийного асинхронного двигателя.*

**Ключевые слова:** Компенсированный асинхронный двигатель, механическая характеристика, электромагнитное поле, электромагнитный момент.

## **RESEARCH OF MECHANICAL CHARACTERISTICS OF THE COMPENSATED INDUCTION MOTOR**

*Comparison of mechanical characteristics of the serial and compensated induction motors with use of the theory of an electromagnetic field is carried out.*

**Key words:** compensated induction motor, mechanical characteristic, electromagnetic field, electromagnetic torque.